

НАЦІОНАЛЬНИЙ ТЕХНІЧНИЙ УНІВЕРСИТЕТ УКРАЇНИ

«КИЇВСЬКИЙ ПОЛІТЕХНІЧНИЙ ІНСТИТУТ

ІМЕНІ ІГОРЯ СІКОРСЬКОГО»

Факультет електроніки

Кафедра електронних приладів та пристроїв

До захисту допущено

Завідувач кафедри, проф., д.т.н.

_____ Л.Д.Писаренко

« ____ » _____ 2018 р.

ДИПЛОМНА РОБОТА

на здобуття ступеня бакалавра

з напрямку підготовки **6.050802 – Електронні пристрої та системи**

на тему **«Прилад для комплексного виміру біологічних параметрів»**

Виконав:

Студент 6 курсу, гр. ДЕ-71 мп Осінній Ілля Олегович _____

Керівик

Завідувач кафедри, проф., д.т.н. **Писаренко Л.Д.** _____

Нормоконтроль:

Доцент кафедри ЕП та П, к.т.н. **Чадюк В.О** _____

Рецензент:

Доцент кафедри мікроелектроніки, к.т.н _____

КИЇВ

2018

ВСТУП

Особливе місце в розвитку медичної діагностики займає пульсометрія і термометрія тіла. Це методи дослідження, що дозволяють виміряти і оцінити частоту серцевих скорочень і температуру тіла пацієнта. Метод пульсометрії заснований на реєстрації змін світлопровідності судин, а метод термометрії на вимірі напруги на термоопорі.

У домашніх умовах вимірювання температури тіла є одним з найбільш важливих методів обстеження хворих та об'єктивного контролю за їх станом. Визначення частоти серцевих скорочень (пульсу) - один з найбільш простих, доступних і досить інформативних показників функціонального стану кровообігу. Для даних методів характерна стаціонарність, тобто необхідність знаходитися поруч з пацієнтом під час вимірювання даних фізіологічних показників. У зв'язку з цим розробка пристрою для дистанційного моніторингу фізіологічних показників людини в даний час є актуальною проблемою.

Пристрій для дистанційного моніторингу фізіологічних показників людини дозволяє віддалено стежити за температурою і частотою пульсу пацієнта. Пристрій закріплюється на внутрішній стороні плеча, що дозволяє точніше вимірювати температуру.

Метою роботи є дослідження методів вимірювання температури і пульсу людини, а також розробка пристрою для дистанційного моніторингу даних показників людини.

Для досягнення поставленої мети необхідно вирішити такі завдання:

- проаналізувати методи реєстрації пульсу і температури тіла;
- виконати огляд існуючих приладів-аналогів;
- вибрати принцип реєстрації фізіологічних показників;
- розробити функціональну схему на основі технічних вимог;
- розробити принципову схему пристрою;

					МРП.171.071.011ПЗ	
Змін.		№ документа	Підпис			7

Для відстежень значеннь ЧСС та сатурації крові киснем зазвичай використовують метод пульсоксиметрії. Так само для реєстрації пульсу використовують п'єзодатчики (сфігмографія) або одне відведення ЕКГ [1].

1.1.2 Сфігмографія

Сфігмографія - неінвазивний механокардіографічний метод, який напвлений на вивчення коливань артеріальної стінки, зумовлених викидом ударного обсягу крові в артеріальний русло. При кожному наступному скороченні серця підвищується тиск в артеріях і має місце приріст їх поперечного перерізу, потім відбувається відновлення вихідного значення. Цей цикл перетворень має назву артеріального пульсу, а запис його в динаміці - сфігмограма. Існують сфігмограми центрального пульсу (запис ведеться на великих артеріях, які близько розташовані до серця: підключичної, сонної артерії) і периферичного (реєстрація здійснюється з більш дрібних судин).

На даний момент для зняття сфігмограми використовують п'єзоелектричні датчики, які дозволять достатньо точно відтворити криву пульсової хвилі, а й виміряти швидкість поширення пульсової хвилі [2].

Сфігмограма має певні розпізнавальні точки і при синхронному записі з ЕКГ і ФКГ тому ми маємо можливість проаналізувати фази серцевого циклу окремо для правого і лівого шлуночків. Записати сфигмограмму нескладно. Зазвичай одночасно накладають 2 і більше п'єзодатчиків або виробляють синхронний запис з електро- і фонокардіограми. У першому випадку дослідження спрямоване на визначення швидкості поширення пульсової хвилі по судинах еластичного та м'язового типів (датчики розташовують біля сонної, стегнової і променевої артерій). Для отримання кривих, придатних до розшифровки, датчики слід розташовувати на передній борозні на рівні сонної артерії, біля стегнової артерії і в зоні максимальної пульсації біля променевої артерії. Записується сфигмограма при швидкості руху механізму протягування стрічки 50-100 мм / с. Морфологія кривих, записаних з великих і периферичних судин - різна. Крива сонної артерії має досить складну морфологію. На початку кривої є маленька хвиля «а»

					МРП.171.071.011ПЗ	
Змін.		№ документа	Підпис			10

до тулуба руці. Визначення часу запізнювання початку підйому. Записана сфїгмограма лежить в основї аналізу швидкостї поширення пульсової хвилї.

При визначеннї рїзниці в часї появи підйому кривих сонної і стегнової артерїй розраховується швидкїсть поширення пульсової хвилї по судинах еластичного типу (C_e):

$$C_e = l_2 + l_3 - l_1 / t_e,$$

де t_e - час запізнювання пульсової хвилї від сонної до стегнової артерїй.

Розрахунок швидкостї поширення пульсової хвилї по судинах м'язового типу здїйснюється за формулою: $C_M = l_2 + l_3 - l_1 / t_M$, де t_M - час запізнювання пульсової хвилї від сонної до променевої артерїй.

Таблиця 1.1 - Залежнїсть швидкостї поширення пульсової хвилї від вїку

Вїк, роки	Величина, см/с
15-20	470
21-25	520
26-36	620
37-45	785
46-55	930
56-60	1000

Данї розраховуються в 5-10 комплексах і виводяться середнї величини в см / с. Ставлення швидкостї поширення пульсової хвилї по судинах м'язового типу до швидкостї поширення пульсової хвилї по судинах еластичного типу у здорових людей знаходиться в межах 1,1-1,3. Швидкїсть поширення пульсової хвилї визначається пружними властивостями артерїальної стїнки і змїнюється з вїком - від 400 см / с у дїтей до 1000 см / с у осїб старше 65 рокїв (таблиця 1.1) [3]

циклу, цього поля сприймається електродом електрокардіографа та реєструється у вигляді зубців ЕКГ, спрямованостей від ізоелектричної лінії вгору (позитивні зубці) або вниз (негативні зубці) –це залежить напрямку ЕРС між самими полюсами електродів. Амплітуда зубців, яка вимірюється в мілівольтах.

Основоположник ЕКГ Ейнтховен (W. Einthoven) запропонував реєструвати різницю потенціалів у фронтальній площині тіла в трьох стандартних відведеннях (рис.1.2) - як з вершин рівностороннього трикутника, за які прийнято: праву руку, ліву руку і лонне зчленування (в практиці в якості третьої вершини використовується ліва нога). Лінії між цими вершинами, тобто боку трикутника, є осями стандартних відведень.

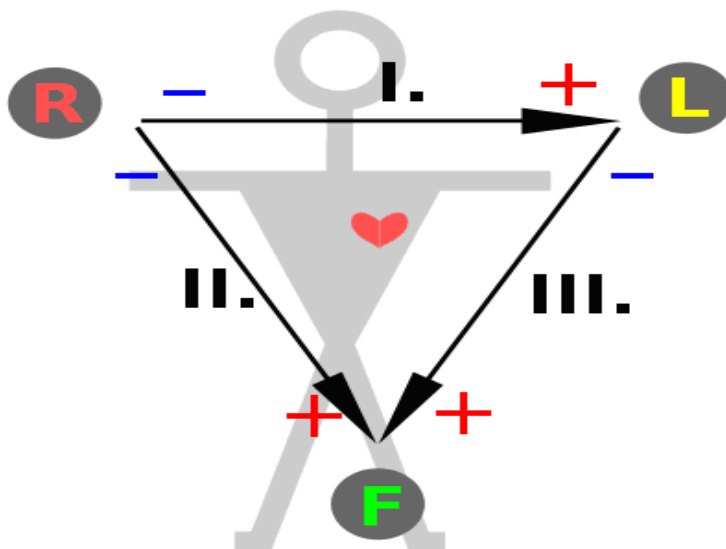


Рис. 1.2 - Три стандартні відведення ЕКГ

I стандартне відведення відповідає розташуванню реєструванню електродів на правій і лівій руці, II - лівій нозі та правій нозі, III – лівв нога та ліва рука. Так би мовити, що центр трикутника Ейнтховена проектується сумарний вектор ЕРС, що є сумою безлічі елементарних векторів ЕРС клітин міокарда. Величина інтегрального вектора ЕРС серця і напрямлення його до простору та залежать від самої маси міокарда, розташування серця в грудній клітці. Величини проекції серцевого вектора на сторони трикутника Ейнтховена в кожен момент часу визначаються рівнянням: $III = II + I$, де I, II, III - алгебраїчна сума амплітуд

використання манжети і мініатюрного електронасоса, що в свою чергу веде до збільшення габаритів приладу і його вартості .

					МРП.171.071.011ПЗ	
Змін.		№ документа	Підпис			23

РОЗДІЛ 2. МЕТОДИ ВИМІРЮВАННЯ ТЕМПЕРАТУРИ

2.1 Огляд методів вимірювання температури об'єктів

Термометр - пристрій для вимірювання поточної температури. Винахідником термометра, відомо, що вже в 1597 році він створив якийсь прилад, що нагадує термометр. Схема прообразу термометра була наступною: це був посудину з трубкою, що містить повітря, відділений від атмосфери стовпчиком води; він змінював свої покази від зміни температури та від зміни атмосферного тиску (рисунок 2.1).

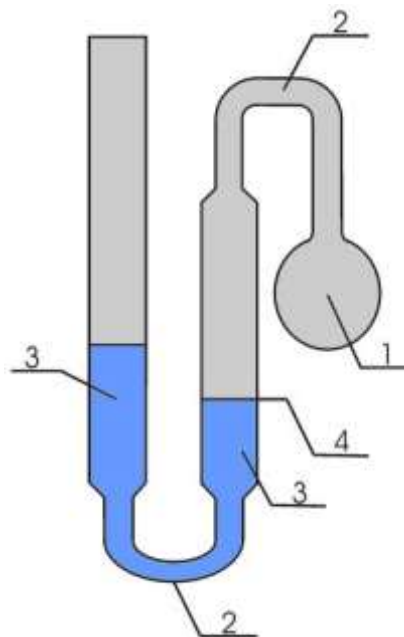


Рис 2.1 Газовий термометр постійного об'єму

1 - посудина з газом, 2 - з'єднувальні трубки,

3 манометр, 4 - постійний рівень

Існує величезна кількість видів термометрів - електронні термометри, цифрові, термометри опору, біметалічні термометри, інфрачервоні термометри (іч термометри), дистанційні термометри, електроконтактні термометри. І, звичайно ж, найбільш популярні - спиртові та ртутні термометри. Крім безпосередньо термометрів у продажу широко представлені оправи до термометрів, манометричні термометри (термоманометри), портативні пірометри, гігрометри

					МРП.171.071.011ПЗ	
Змін.		№ документа	Підпис			24

РОЗДІЛ 3. ОГЛЯД ПРИЛАДІВ АНАЛОГІВ ДИСТАНЦІЙНОГО І СТАЦІОНАРНОГО КОНТРОЛЮ ТЕМПЕРАТУРИ І ПУЛЬСУ

Пульсометр цифровий NISSEI HR-40, зовнішній вигляд пристрою наведено на малюнку 3, а основні технічні характеристики, ціна і гарантія в таблиці 3.1.



Рис. 3.1 - Пульсометр Nissei HR-40

Метод вимірювання	Фотоелектричний
Місце накладання датчика	Кисть руки
Живлення	3 В (літійовий елемент CR2032)
Вага,г	33
Габарити, мм	65 x 45 x 12
Фірма-виробник	<i>Nihon Seimitsu Sokki Co., Ltd.</i>
Країна виготовлення	Японія
Гарантія	3 роки
Ціна	1299 грн



Рис. 3.4 - Цифровий градусник Microlife MT-3001

Таблиця 3.4 - Технічні характеристики цифрового градусника Microlife MT-3001

Тривалість вимірювання	20 сек
Точність вимірювання +/-	0.1 °C
Живлення	3 В
Особливості	Попереджувачий сигнал при підвищеній температурі. Водонепроникний корпус
Виготовлення	Швейцарія
Гарантія	2 роки
Ціна	150 грн

Електронний термометр Sanitas SFT41. Зовнішній вигляд пристрою зображений на рис 3.5, а його основні технічні характеристики, ціна і гарантія знаходяться в таблиці 3.5.



Рис. 3.5 - Електронний термометр Sanitas SFT41

Таблиця 3.5 - Технічні характеристики електронного термометра Sanitas SFT41

Тривалість вимірювання	10 сек
Точність вимірювання +/-	0.3 °C
Живлення	3 В
Особливості	Попереджувачий сигнал при підвищеній температурі. Інфрачервоний спосіб вимірювання. Перемикач між °C та °F
Виготовлення	Германія
Гарантія	1 рік
Ціна	250 грн

Функціонально схема вимірювача складається з: інфрачервоного датчика, що знаходиться над артерією на поверхні руки, який реєструє серцеві скорочення; підсилювача, який підсилює сигнал з датчика; і фільтра. Посилений сигнал надходить на неінвертуючий вхід аналогового компаратора МК. Схема вимірювання температури ґрунтується на використанні термосоопору і підсилювача, сигнал з схеми надходить на вхід АЦП мікроконтролера. Вимірні дані за допомогою інтерфейсу SPI передаються через радіомодуль на пристрій-індикатор.

На мікроконтролер пристрої-індикатора по інтерфейсу SPI з радіомодуля надходять вимірні дані і пристрій виводить їх на ЖК індикатор і динамік. За допомогою кнопок відбувається установка зв'язку між двома пристроями.

В обох пристроях блок живлення являє собою 2 батарейки дискового типу по 3 вольта і стабілізатор напруги.

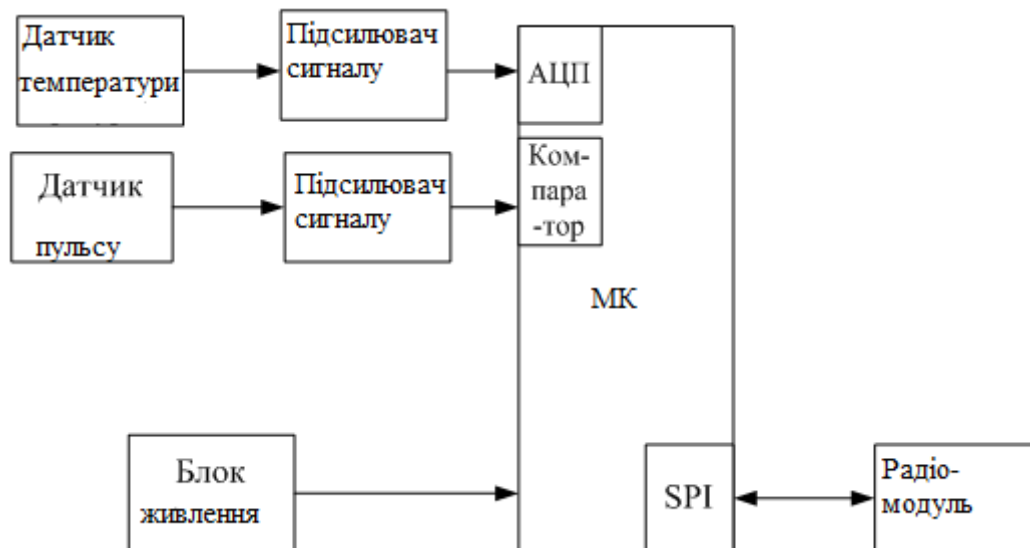


Рис. 4.1 - Функціональна схема вимірювача

Мікроконтролери родини AVR, що базуються на Гарвардській архітектурі, що передбачає зберігання програм і даних в окремих адресних просторах.

А) опис контролера А – *ATtiny 2313*

- flash-пам'ять програми ємністю 2 кбайт;
- ОЗУ даних ємністю 128 байт;
- EEPROM-пам'ять даних ємністю 128 байт;
- один 16-бітний та один 8-бітний таймер-лічильник із схемами захоплення та порівняння;
- послідовний синхронний асинхронний порт USART;
- послідовний інтерфейс USI;
- аналоговий компаратор;
- програмований сторожовий таймер;
- вбудована система скидання при включенні живлення [13].

Розташування виводів мікроконтролера показано на малюнку 4.3.

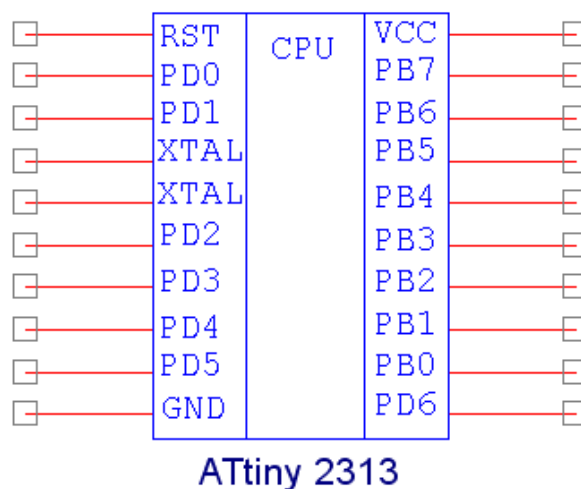


Рис 4.3 -Розташування виводів ATtiny 2313

Б) опис контролера Б - *ATtiny 24*

					МРП.171.071.011ПЗ	
Змін.		№ документа	Підпис			42

- flash-пам'ять програм ємністю 2 кБайт;
- ОЗУ даних ємністю 128 байт;
- EEPROM-пам'ять даних ємністю 128 байт;
- один 16-бітний і один 8-бітний таймер-лічильник зі схемами захоплення і порівняння;
- 8-канальний 10-бітний АЦП послідовного наближення;
- Універсальний послідовний інтерфейс USI;
- аналоговий компаратор;
- програмований сторожовий таймер;
- вбудована система скидання при включенні живлення [14].

Розташування виводів мікроконтролера показано на малюнку 4.4.

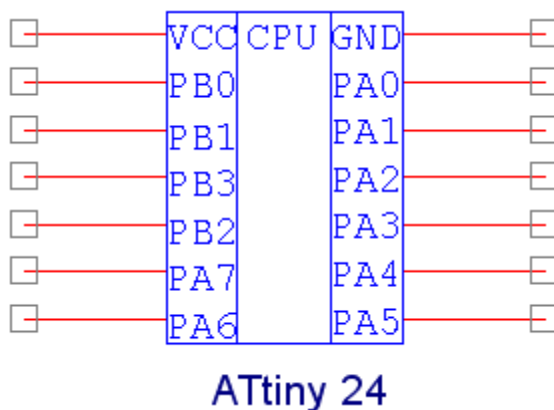


Рис. 4.4 - Розташування висновків ATtiny 24

Для зберігання програм використовується flash-пам'ять, організована як 1024 розрядних слів і займає адресний простір в діапазоні 0- \$ 3FF. Молодші адреси в діапазоні від 0 до \$ 10 використовуються як вектори переривання. При включенні живлення управління передається на осередок пам'яті з адресою 0.

Пам'ять даних, на відміну від пам'яті програм, має розрядність 8 біт і ділиться на кілька областей. Адреси в діапазоні від 0 до \$ 1F займає регістровий

файл, що складається з 32-х робочих регістрів. В область пам'яті з адресами від \$ 20 до \$ 5F відображаються регістри, які обслуговують всі периферійні пристрої мікроконтролера. Адреси в діапазоні \$ 60 - \$ DF використовуються для зберігання даних. Тут же розташовується і програмний стек. Схематичне зображення розподілу пам'яті даних наведено на рис. 4.5.

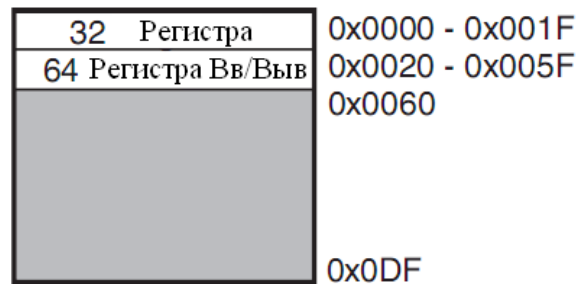


Рис. 4.5 - Розподіл пам'яті даних

Аналого-цифровий перетворювач

Мікроконтролер ATtiny 24 містить в своєму складі 10 розрядний 8-канальний аналого-цифровий перетворювач. АЦП має вбудований пристрій вибірки-зберігання (ПВЗ). Час перетворення АЦП програмується і має перебувати в межах 65 - 260 μ s.

АЦП може функціонувати в двох різних режимах - одноразового вимірювання і безперервного вимірювання. У режимі однократного вимірювання на весь цикл перетворення витрачається 14 внутрішніх тактів АЦП, для безперервного перетворення потрібно 13 тактів. У режимі однократного вимірювання кожне перетворення має ініціюватися користувачем. У безперервному режимі АЦП постійно вимірює вхідну напругу і автоматично замінює вихідний результуючий код.

Вихідний код АЦП зберігається в регістрі результату ADC. Так як розрядність АЦП становить 10 біт, доступ до регістру результату здійснюється через реєстрову пару - ADCL - молодший байт, і ADCH - старший байт. Ці регістри доступні тільки для читання. Вичитувати ці регістри необхідно в

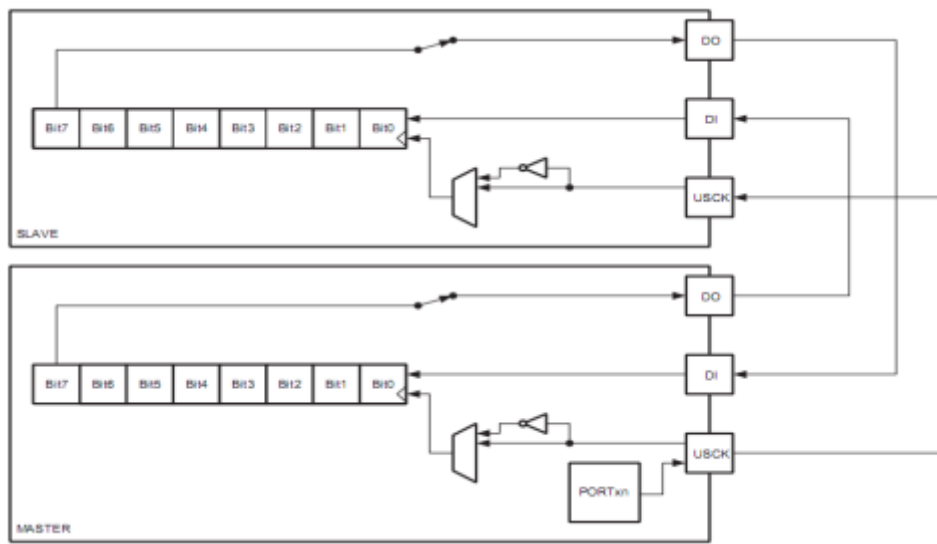


Рис. 4.7 — функціональна схема підключення через USI

Рис. 4.7 показує роботу USI в режимі «трьох проводів», в якому один пристрій Master інше Slave. Вихід DO (Data Output) одного пристрою необхідно з'єднати з DI (Data Input) іншого пристрою і на оборот DI з DO, контакти USCK з'єднуються між собою. Тактовий сигнал генерує Master [16].

Зовнішні переривання.

Зовнішнє переривання здійснюється за допомогою зовнішнього виведення INTO або інших виводів PCINT11: 0. Визначення режимів роботи і обслуговування зовнішніх переривань забезпечуються за допомогою трьох регістрів GIMSK, GIFR і MCUCR. Ці регістри доступні як для читання, так і для запису.

У регістрі GIMSK (Global Interrupt Mask), встановлюються біти для дозволу зовнішніх переривань, а в регістрі MCUCR (MicroController Unit Control Register) встановлюються біти, що визначають характер події, що викликає зовнішнє переривання, а саме ISC0,1. Комбінації стану цих бітів визначають наступні режими зовнішнього переривання INTO, наведені в таблиці 4.2 [15].

Таблиця 4.2 - Режими зовнішнього переривання

<i>ISC01</i>	<i>ISC00</i>	Режим переривання
--------------	--------------	-------------------

В активному режимі (при тактовій частоті 1 МГц і напрузі 1,8 В) споживається струм рівний 300 мкА, а в режимі Power-down - 0,1 мкА. Таким чином, при використанні режиму зниженого споживання енергії, споживання зменшується приблизно в 3000 разів [15].

4.3.2 Контактний датчик температури

В основі схеми реєстрації пульсу лежить використання термометра опору, чий опір змінюється лінійно зі зміною температури. На рис. 4.8 приведена залежність опору від температури.

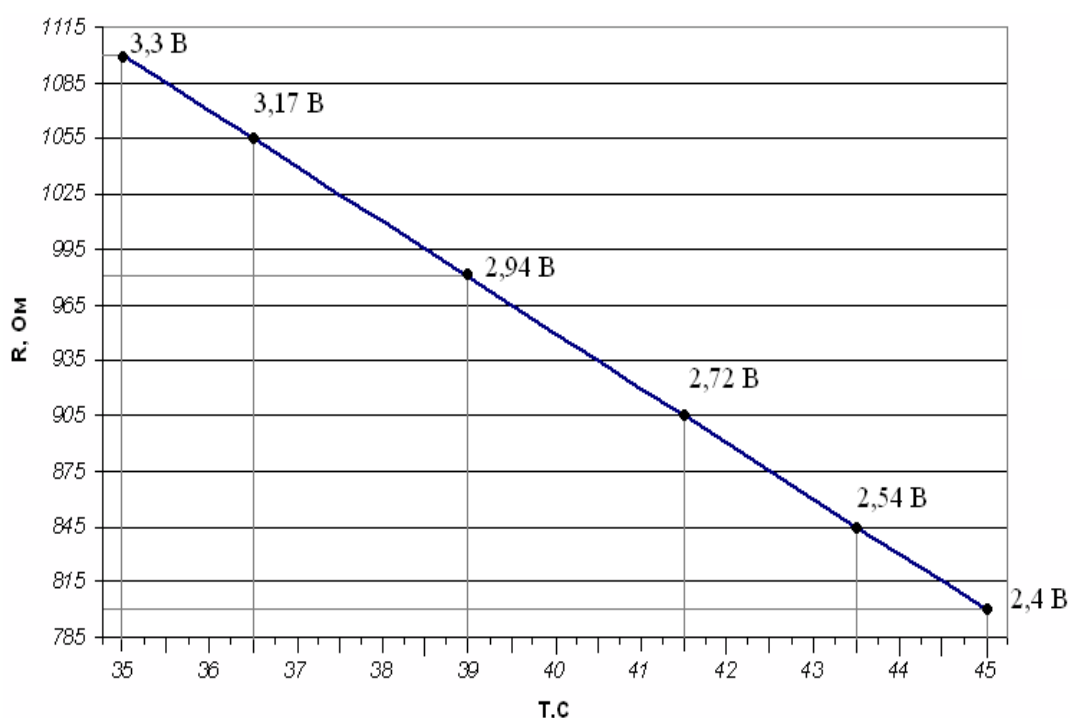


Рис. 4.8 - Залежність опору від температури

На Рис. 4.9 приведена схема вимірювання температури тіла.

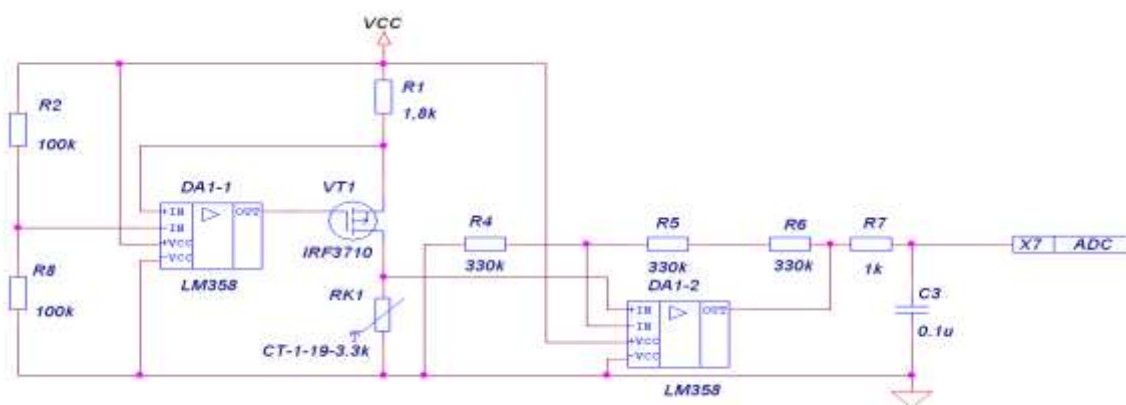


Рис. 4.9 - Схема вимірювання температури тіла

Схема складається з двох основних частин: джерела струму, який задає струм на терморезистор і підсилювача, який підсилює падіння напруга на терморезистор. На виході підсилювача зібраний пасивний фільтр для фільтрації вхідної напруги АЦП.

Джерело струму:

На рис. 4.10 наведена схема джерела струму з заземленим навантаженням [18].

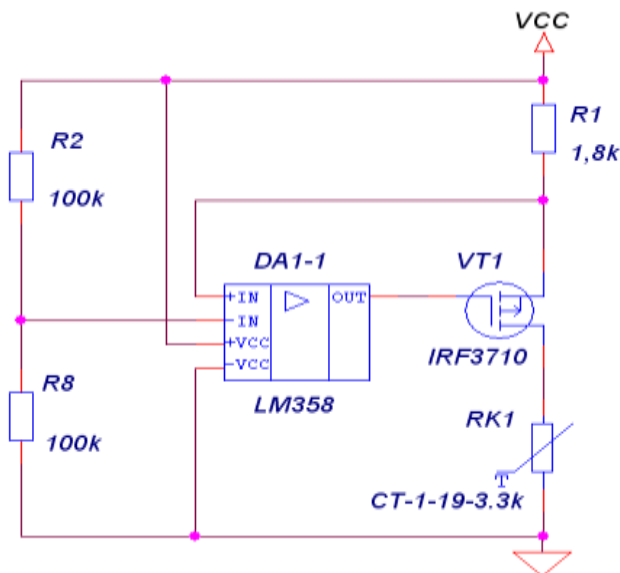


Рис. 4.10 - Схема джерела струму з заземленим навантаженням

Резистори R_3 і R_8 являють собою резистивний дільник. Напруга в точці А визначається:

$$U_A = U_{in} \cdot k; \quad (4.1)$$

$$k = \frac{R_8}{R_2 + R_8} = \frac{100 \cdot 10^3}{200 \cdot 10^3} = 0,5;$$

$$U_A = 3,6 \cdot 0,5 = 1,8 \text{ В.}$$

У схемі зворотний зв'язок створює на резисторі R_4 падіння напруги, рівне $U_n - U_A$, яке в свою чергу задає струм на навантаженні дорівнює:

$$I_H = \frac{(U_{\Pi} - U_A)}{R1} \quad (4.2)$$

$$I_H = \frac{(3,6-1,8)}{1,8 \cdot 10^3} = 1 \text{mA}$$

Підсилювач являє собою неінвертуючий підсилювач на ОП. Коефіцієнт підсилення схеми дорівнює:

$$K_{\Pi} = \frac{R6 + R5}{R4} + 1 \quad (4.3)$$

$$K_{\Pi} = 3.$$

Таким чином напругу на АЦП МК дорівнюватиме:

$$I_H \cdot R_t \cdot K_y = U_{adc}.$$

де R_t визначається по рис. 4.8.

За рис. 4.8 видно, що залежність опору від температури лінійна, а значить, рівняння прямої для такого графіка дорівнюватиме:

$$R_t = k \cdot T + b. \quad (4.4)$$

В результаті, прирівнявши обидві половини рівняння, отримаємо формулу для визначення температури

$$T = \frac{U_{adc} - b \cdot I_H \cdot K_y}{I_y \cdot K_y \cdot k} \quad (4.5)$$

Для спрощення обчислення значення температури, буде використовуватися табличний метод перерахунку вимірної напруги в значення температури.

Робота схеми була промодельована в пакеті Work Bench і результат роботи схеми приведений на рисю 4.11. Симуляція роботи схеми була проведена при мінімальній температурі - 35°C, що відповідає опору 1,1 кОм.

із розрахункового, в результаті вийде поправочний коефіцієнт для вимірювання АЦП, який буде враховуватися при кожному вимірі.

4.3.3 Оптичний датчик пульсу

Ключовим елементом схеми реєстрації пульсу є відбивний датчик фірми HoneyWell HLC-1395-002. Даний датчик являє собою інфрачервоний світлодіод і інфрачервоний фототранзистор в одному корпусі, в якому катод світлодіода і емітер фототранзистора об'єднані в загальний провід. Для того, щоб уникнути небажаного світла від світлодіода, фототранзистор розділений від нього світлонепроникною перегородкою. Схема даного датчика представлена на рис. 4.12.

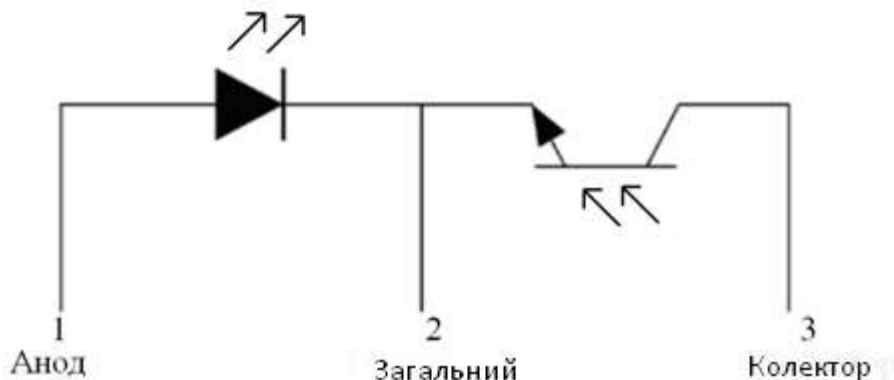


Рис 4.12 - схема датчика HLC 1395-002

В якості підсилювача в даній схемі виступає операційний підсилювач LM358D. В одному корпусі такої мікросхеми знаходяться два підсилювача, розроблені таким чином, щоб працювати від одного джерела живлення в широких діапазонах напруги.

Принципова схема блоку реєстрації пульсу приведена на малюнку 4.13

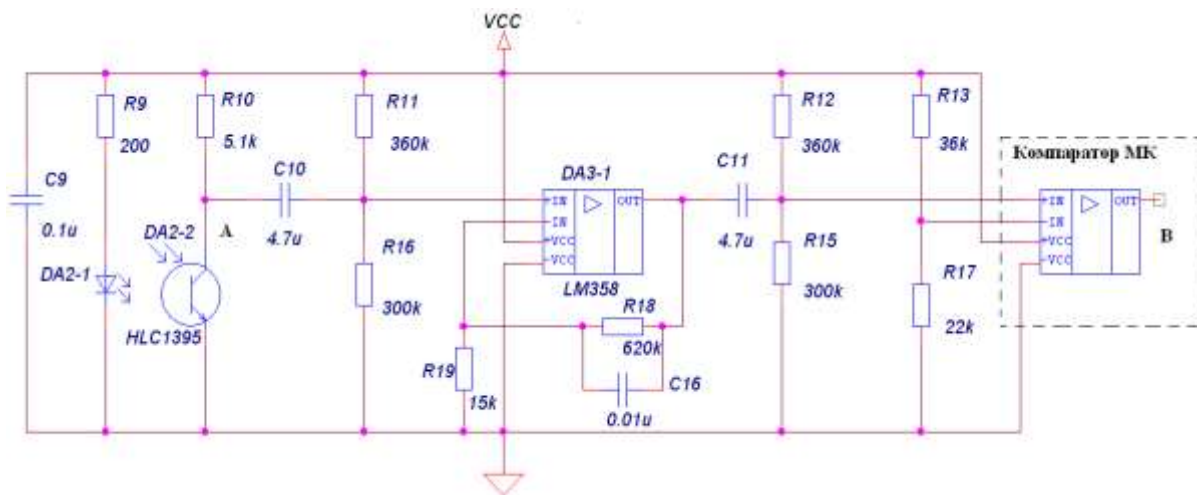


Рис. 4.13 - Принципова схема реєстрації пульсу

Умовно схему можна розділити на 3 частини: оптичний датчик, підсилювач на ОП і компаратор.

Струм світлодіода задається резистором R9 і дорівнює 10 мА.

$$R9 = \frac{U_{жив} - U_{д}}{I_{д}} ; \quad (4.6)$$

$$R9 = \frac{3,6 - 1,6}{10 \cdot 10^{-3}} = 200 \text{ Ом.} \quad (4.7)$$

Колектор фототранзистора через резистор підтягнутий до плюса живлення. Номінал резистора підібраний експериментально, щоб потенціал колектора був в середині напруги харчування.

На C₁₀, R₁₁, R₁₆ і C₁₁, R₁₂, R₁₅ зібрані пасивні ВЧ фільтри для відсічення постійної складової. Частота зрізу фільтрів ~ 0,2 Гц

На LM358 зібраний активний фільтр низьких частот з неінвертуючим включенням операційного підсилювача. На рис 4.14 приведена схема ФНЧ. Основними характеристиками фільтрів є: смуга пропускання, смуга подавлення, крутизна в області подавлення, а також амплітудно-частотні характеристики (АЧХ) і фазо-частотні характеристики (ФЧХ) [19].

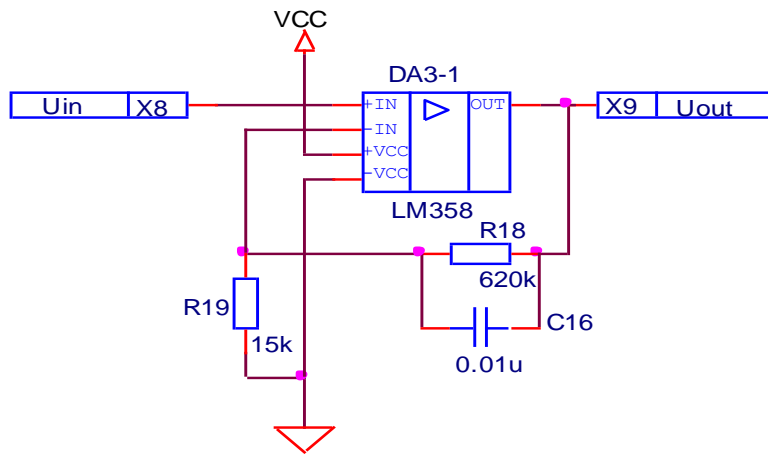


Рис. 4.14 - ФНЧ з неінвертуючим включенням ОП

У цій схемі вхідний сигнал подається на неінвертуючий вхід ОП. Напряга негативного зворотного зв'язку формується резистивним ділянком R_{12} і R_9 з виходу ОП. Коефіцієнт посилення схеми по напрузі дорівнює:

$$k = \frac{R_{18} \cdot Z_{C16}}{R_{19}} + 1. \quad (4.8)$$

Коефіцієнт підсилення схеми:

$$k_0 = \frac{R_{18}}{R_{19}} = \frac{620 \cdot 10^3}{15 \cdot 10^3} = 41,3; \quad (4.9)$$

$$k = \frac{R_{18}}{R_{19}} * \frac{Z_{C16}}{R_{18} + Z_{C16}} + 1 = k_0 * \frac{1}{j * 2 * \pi * F * R_{13} * C_{14} + 1} + 1. \quad (4.10)$$

Щоб отримати вираз для АЧХ без комплексного значення необхідно взяти модуль k . Перетворимо вираз у вигляді дійсної та уявної частини шляхом домноження чисельника і знаменника на поєднане знаменника вираз і отримаємо:

$$k_m = \sqrt{\frac{k_0^2 + 2 * k_0}{4 * \pi^2 * F^2 * \tau^2 + 1}} + 1; \quad (4.11)$$

$$\tau = R_{18} \cdot C_{16}. \quad (4.12)$$

Частота зрізу даного фільтра визначається за формулою:

$$F_{cp} = \frac{1}{2 * \pi * \tau} = \frac{1}{2 * \pi * R_{18} * C_{16}} = \frac{0.16}{\tau} \approx 25 \text{ Гц}. \quad (4.13)$$

4.3.4 Стабілізатор напруги

Як стабілізатор напруги є мікросхема LT-1086-3.6, яка забезпечує стабілізацію напруги рівну 3.6 вольт при вхідній напрузі від 4.5 вольт до 18 вольт. Похибка на виході складає $\pm 0.037\text{В}$.

Схема включення стабілізатора представлена на рис. 4.18.

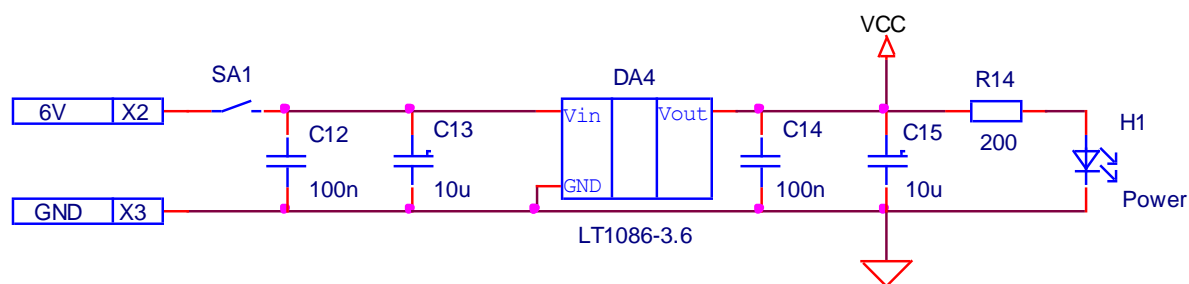


Рис 4.18 - схема стабілізатора напруги на 3.6 В

4.3.5 Блок приймача

TRC102 - багатоканальний, малопотребуючий радіочастотний приймач, інтегрований в одну мікросхему. Він підходить для додатків бездротового зв'язку з двостороннім обміном в не ліцензованій смузі частот 400 ... 1000 МГц. Всі необхідні радіочастотні функції інтегровані в мікросхему, завдяки чому мінімізовано кількість зовнішніх компонентів (кварц на 10 МГц і мікроконтролер). Крім того, TRC102 підтримує різні режими "сну", що дозволяють зменшити загальне споживання і тим самим продовжити час життя батареї.

Характеристики пристрою:

- Діапазон частот: 400 - 1000 МГц;
- Чутливість: -112 дБ / м;
- Швидкість передачі даних: до 256 Кбіт / с;
- Споживання струму в режимі прийому: $\sim 11 \text{ мА}$;

- Вивід переривання зовнішнього процесора;
- Програмована швидкість передачі даних;
- Вбудоване відновлення тактової синхронізації і даних;
- Режим "сну" для енергозбереження, пробудження по зовнішніх подіях;

Даний радіомодуль використовують для вирішення безлічі завдань в різних областях людської діяльності, а саме: зчитування даних з автоматизованих лічильників, домашня і промислова автоматизація, системи безпеки, віддалене відкривання дверей, автомобільний блокіратор, медичне обладнання, телеметричні системи, бездротова мережа датчиків, бездротові модулі.

Розташування виводів:

Зовнішній вигляд мікросхеми представлений на рис. 4.19

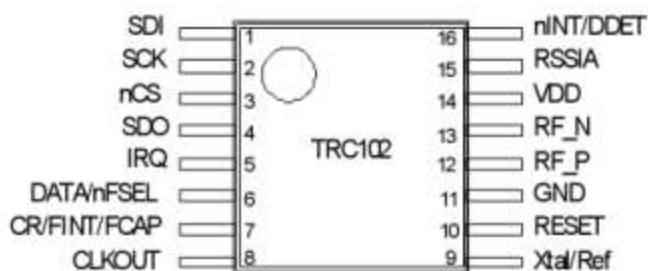


Рис. 4.19 - Зовнішній вигляд TRC 102

Таблиця 4.4 - Опис висновків радіомодуля

№ вивода	Призначення	Опис
1	<i>SDI</i>	Вхід даних <i>SPI</i> (<i>SPI Data In</i>)
2	<i>SCK</i>	Синхронізація даних <i>SPI</i> (<i>SPI Data Clock</i>)
3	<i>nCS</i>	Вхід вибору мікросхеми (<i>Chip Select</i>)
4	<i>SDO</i>	Вихід даних <i>SPI</i> (<i>SPI Data Output</i>)
5	<i>nIRQ</i>	Вихід запроса переривання (<i>Interrupt Request Output</i>)

МПП.171.071.011ПЗ

Змін. № документа Підпис

TRC102 - це багатоканальний приймач з частотною модуляцією, призначений для використання в смугах частот 433, 868 і 916 МГц. Функціональні можливості:

- синтезатор ФАПЧ;
- підсилювач потужності;
- малошумний підсилювач (LNA);
- I/Q -мікшери;
- I/Q -демодулятори;
- фільтри немодульованої передачі;
- підсилювачі немодульованої передачі;
- індикація рівня сигналу;
- детектор розряду батареї;
- режим таймера пробудження / робочого циклу;
- виявлення дійсних даних / якості даних

Функціональна схема пристрою зображена на рис. 4.20

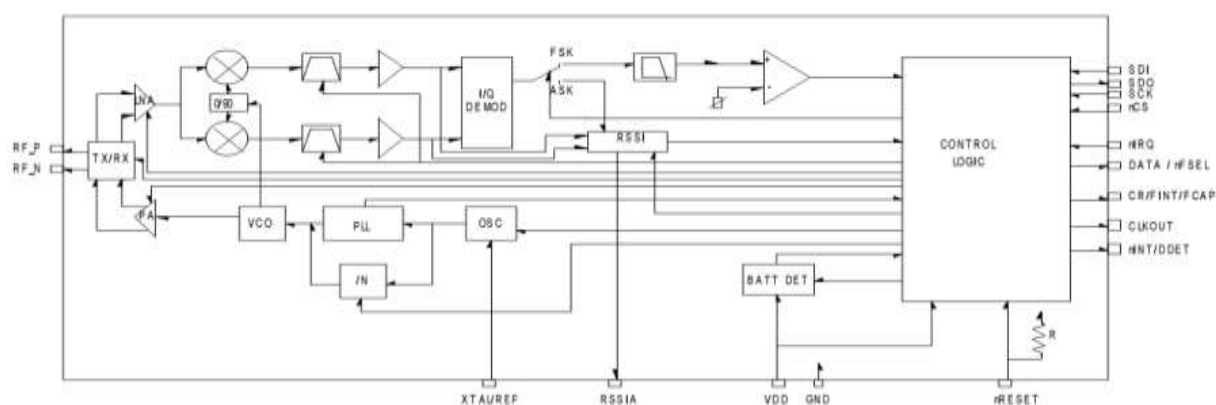


Рис. 4.20 - Функціональна схема TRC 102

Типова схема підключення до радіомодулів антеною навантаження до виходів R_{ef} рекомендована виробником, наведена на малюнку 4.21 [20]

					МРП.171.071.011ПЗ	
Змін.	№ документа	Підпис				62

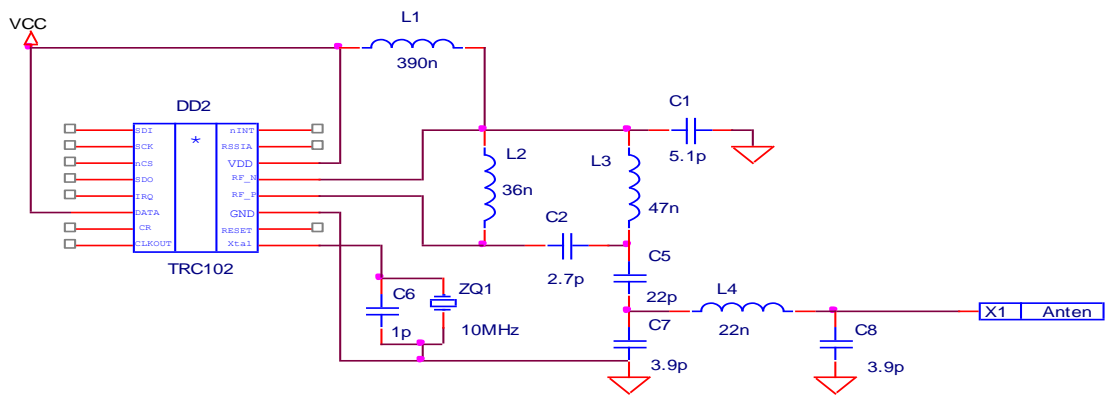


Рис. 4.21 - типова схема підключення антеною навантаження

4.3.6 Блок індикації та блок управління

Як індикації використовується звукова (динамік) і візуальна (РК-дисплей). Звукова індикація необхідна для сигналізації, коли хоча б один з фізіологічних показників людини перевищує норму або стає менше норми. Схема включення динаміка наведена на Рис. 4.22.

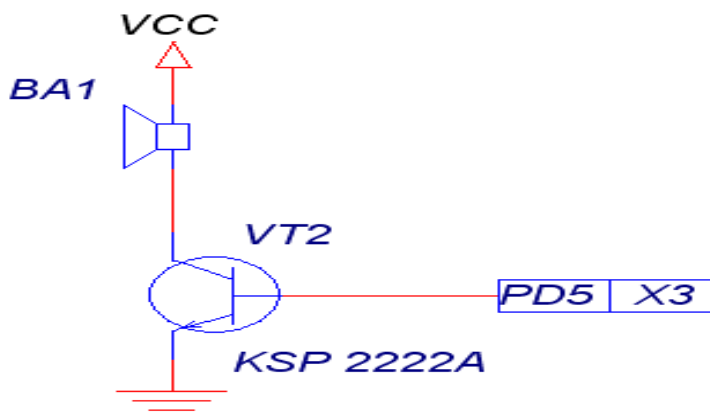


Рис. 4.22 - схема включення динаміка

На РК-дисплей будуть виводитися значення фізіологічних показників людини, в цьому пристрої використовується знаковисинтезуючий РК-дисплей фірми Winstar, в якому 2 рядки по 8 символів в кожній. Опис виводів дисплея приведена в таблиці 4.5.

Таблиця 4.5 - опис виводів LCD дисплея

№ п/п	ва Виводу	Опис Виводу

МРП.171.071.011ПЗ

1	V_{ss}	Земля
2	V_{dd}	Живлення (+3В - +5В)
3	V_o	Налаштування контрасту
4	R_s	Вибір регістру (запис команди «0» або даних «1»)
5	R/\overline{W}	Запис в пам'ять або читання з пам'яті
6	E	Тактуючий сигнал
7- 14	$DB0-7$	Шина даних

Схема підключення дисплея зображена на рисунку 4.23. На вивід V_o подається напруга через підлаштовуючийся резистор для установки контрастності знаків, а вивід запис / читання підключаємо до землі, тому що в пам'ять дисплея буде проводитися тільки запис даних. Виводи R_s , E підключаються до двох молодших бітів МК, які забезпечують тактування і вибір регістра команд або даних. Управління РК-дисплеєм планується по чотирьохбітній шині даних. Такий режим управління дисплеєм забезпечує «економію» вільних виводів мікроконтролера. При роботі в чотирьохбітному режимі використовуються старші чотири біта шини даних дисплея [21].

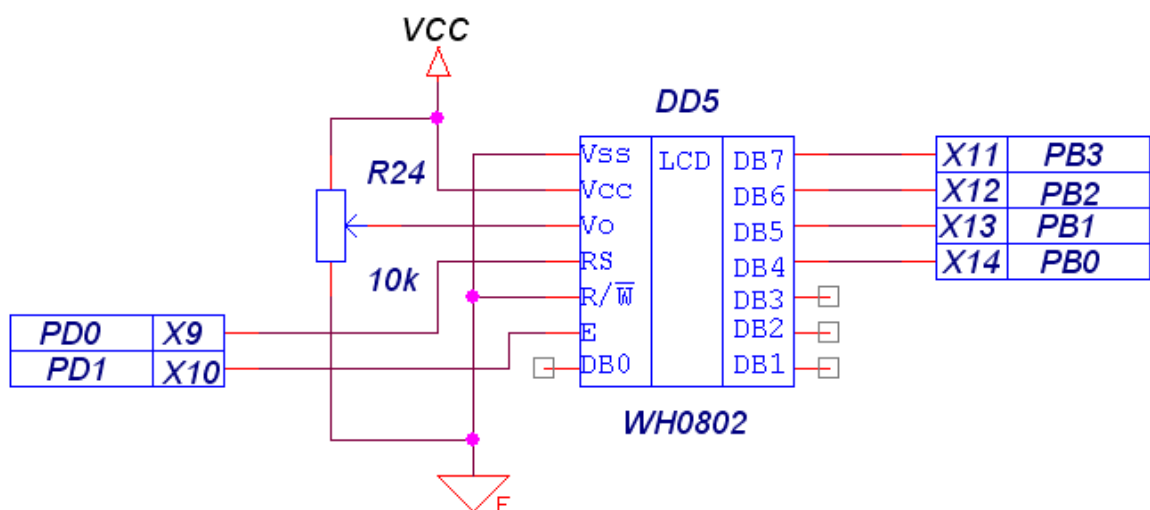


Рис 4.23 - Схема підключення LCD дисплея

Дисплей повинен відображати інформацію про пульсі і температуру, формат виведеної інформації зображений на малюнку 4.24.

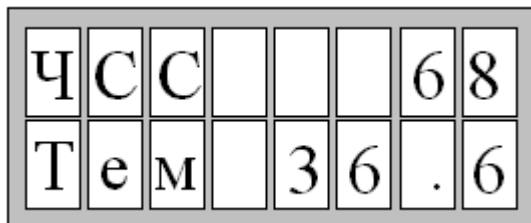


Рис. 4.24 - Формат виведеної інформації на дисплей,

де ЧСС - частота серцевих скорочень, яка вимірюється в ударах в хвилину.

Тем - температура тіла, в градусах Цельсія.

енергії батарейки. Час старту після подачі живлення дорівнює 4.1 мс. Сторожовий таймер необхідно відключити. Таким чином fuse-біти для контролера ATtiny 24 дорівнюватимуть:

Fuse Low Byte = D0h

Fuse High Byte = DFh

Fuse-біти для контролера ATtiny 2313 дорівнюватимуть:

Fuse Low Byte = D0h

Fuse High Byte = DFh

5.1.2 Підпрограма ініціалізації

ПП ініціалізації включає в себе налаштування всіх ключових елементів схеми, а також периферії мікроконтролера. Алгоритм ініціалізації зображене на рис. 5.2

Налаштування портів:

Встановлюємо на виходах PA₄ і PA₃, встановлюючи в регістрі DDRA відповідні біти, а PA₅ на виводах.

Налаштування АЦП:

У регістрі ADMUX вибираємо джерело опорної напруги, і вибираємо канал, на якому буде відбуватися перетворення. В якості опорної напруги вибираємо напругу живлення (V_{cc}) та використовуємо сьомий канал АЦП. Таким чином в регістр ADMUX необхідно записати значення - 07h (MUX0 = 1 MUX1 = 1 MUX2 = 1). Тактова частота АЦП повинна знаходитися в діапазоні 50-200 кГц, отже, використовуючи переддільник (prescaler) розділимо тактову частоту мікроконтролера на 16:

$$\frac{1\text{МГц}}{16} \approx 62\text{кГц}$$



Рис 5.5 - алгоритм установки зв'язку



Рис 5.6 - алгоритм перетворень

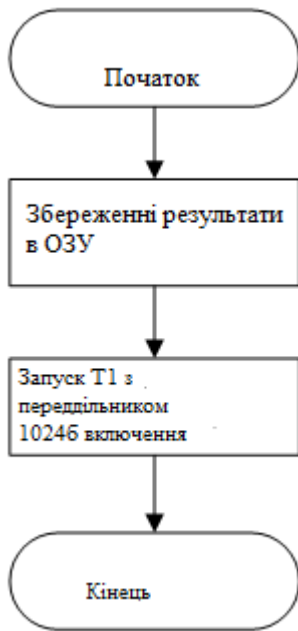


Рис. 5.7 – Алгоритм обробки переривання від АЦП

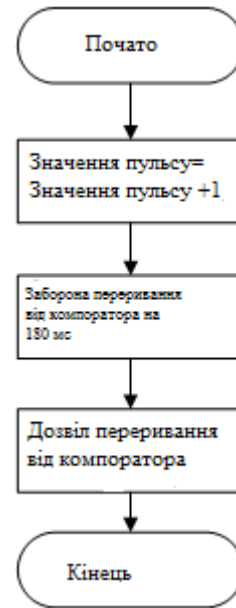


Рис 5.8 —Алгоритм обробки переривання від аналогового компаратора

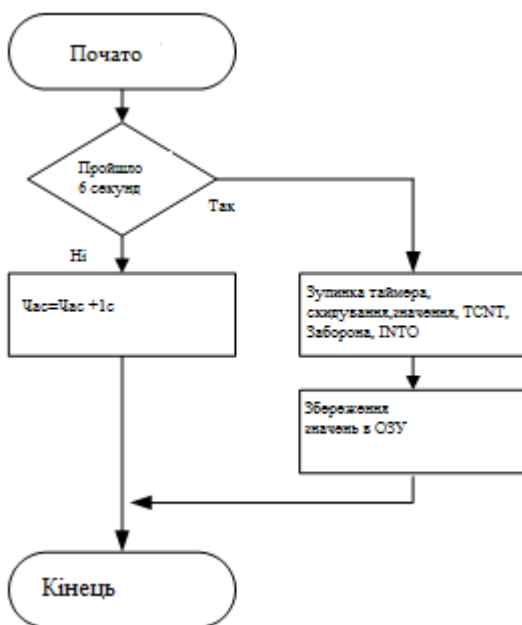


Рис 5.9 - Алгоритм обробки переривання від Т1

5.2 Логіка роботи приймача - індикатора

У завдання приймача входить опитування вимірювача 1 раз в хвилину.

Логіка роботи приймача представлена на рис 5.9.

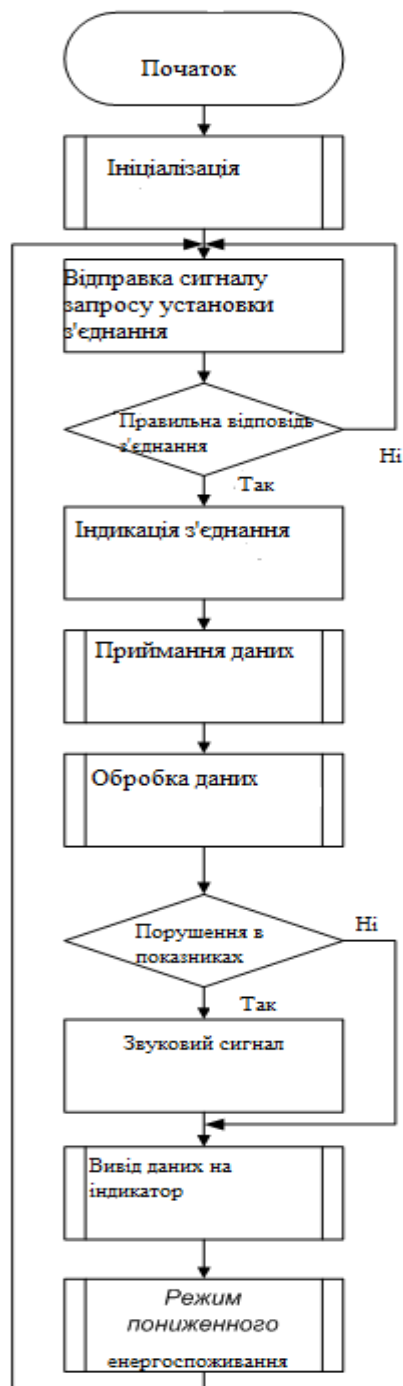


Рис 5.9 - Логіка роботи приймача

5.2.1 Підпрограма ініціалізації

ПП ініціалізації включає в себе налаштування всіх ключових елементів схеми, а також периферії мікроконтролера. Алгоритм ініціалізації зображений на рис 5.10



Рис 5.10 - Підпрограма ініціалізації приймача

ПП ініціалізації радіомодуля, таймера T_0 , інтерфейсу USI аналогічна вимірника. Однак в даній схемі використовується РК індикатор, який необхідно налаштувати. Робота РКІ передбачена по 4-х бітної шині даних. Спочатку необхідно ініціалізувати РКІ, а потім налаштувати його. На малюнку 5.11 наведено алгоритм підпрограми ініціалізації РКІ.

Це можливий обсяг реалізації товару, при певному рівні цін, проданого або на певній географічній території за одиницю часу. Як правило обсяг ринку визначається на значних за розміром географічних територіях і на досить протяжних тимчасових інтервалах.

Оскільки розроблювальний пристрій може застосовуватися в домашніх умовах, санаторіях і спортивних клубах, то, припустимо, що в Києві буде продано 60 приладів. Таким чином кількість проданих приладів на території України дорівнюватиме:

$$\frac{45963000 \cdot 60}{380000} = 7257 \text{ шт.}$$

6.1.8 Темпи зростання ринку

Загальний обсяг зростання ринку росте потенційно 5-5% в рік, тоді за 3 роки обсяг продажів складе:

шт, до кінця 3 року при 7% в рік.

З урахуванням фінансового потенціалу споживача (70%) можемо обчислити кількість необхідних для випуску приладів:

$$N_{\text{вип}} = 8890 \cdot 0,7 = 6223 \text{ шт.}$$

6.1.9 Життєвий цикл ринку

Період часу від початку створення товару до закінчення. запитання на ринку і припинення виробництва. Виділяють кілька етапів життєвого циклу виробу, для виробів електронної техніки - 3 роки, за 3 роки ми повинні продати 6223 приладу (рисунок 6.1). За перший рік продамо 10% приладів (622 шт.), За 2 рік - 60% (3734 шт.), За 3 рік - 30% (1867 шт.).

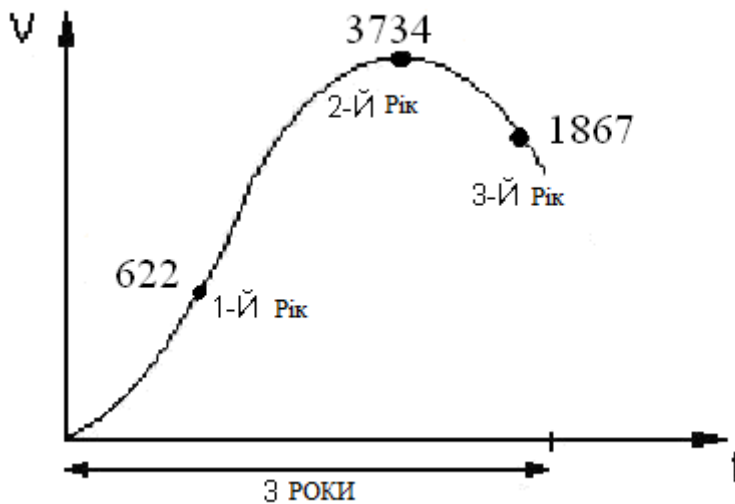


Рис 6.1 - етапи життєвого циклу виробу

6.1.10 Рекламування

Для рекламування розробляється приладу доцільно використовувати зовнішню рекламу в спеціалізованих місцях (лікарнях, поліклініках, медичних центрах, санаторіях). Найбільш вдалою буде реклама на сітці, яку можна розмістити на стінах спеціалізованих місць або вікнах. Також ефективною буде поліграфічна реклама. Наприклад, брошури або буклети, які можна поширити по кабінетах лікарів [22].

6.2 Технічне завдання

6.2.1 Принципова схема приладу

У додатку А зображена схема дистанційного монітора основних фізіологічних показників людини електрична принципова.

6.2.2 Технологічний процес виготовлення приладу

У таблицях Д.1 - Д.5 наведено технологічний процес виготовлення приладу. При цьому нам треба врахувати технологічну карту виготовлення виробу, застосовувані матеріали (основні і допоміжні) і обладнання.

$$N_{p7} = 4$$

$$N_{p16} = 3$$

$$N_{p8} = 3$$

$$N_{p17} = 4$$

$$N_{p9} = 2$$

Після розрахунку прийнятого і розрахункової кількості робочих місць необхідно розрахувати коефіцієнт завантаження за формулою:

$$\eta = \frac{N_{p.m}}{N_p} \quad (6.4)$$

$$\eta_1 = 0,95$$

$$\eta_{10} = 0,81$$

$$\eta_2 = 0,88$$

$$\eta_{11} = 0,81$$

$$\eta_3 = 0,87$$

$$\eta_{12} = 0,87$$

$$\eta_4 = 1$$

$$\eta_{13} = 0,99$$

$$\eta_5 = 0,82$$

$$\eta_{14} = 0,81$$

$$\eta_6 = 0,82$$

$$\eta_{15} = 0,88$$

$$\eta_7 = 0,82$$

$$\eta_{16} = 0,72$$

$$\eta_8 = 0,99$$

$$\eta_{17} = 0,95$$

$$\eta_9 = 0,95$$

6.4 Розрахунок потреби в обладнанні

Приклад розрахунку таблиці потреби в обладнанні.

Установка нарізки пластин Robus FSM / N.

$$ЧТЦ_3 = 96273 \cdot 0,75 = 34233,94 \text{ грн.}$$

Результат заноситься в таблицю В.20 - Інтегральний економічний ефект. За даними таблиці будується фінансовий профіль проекту. [23]

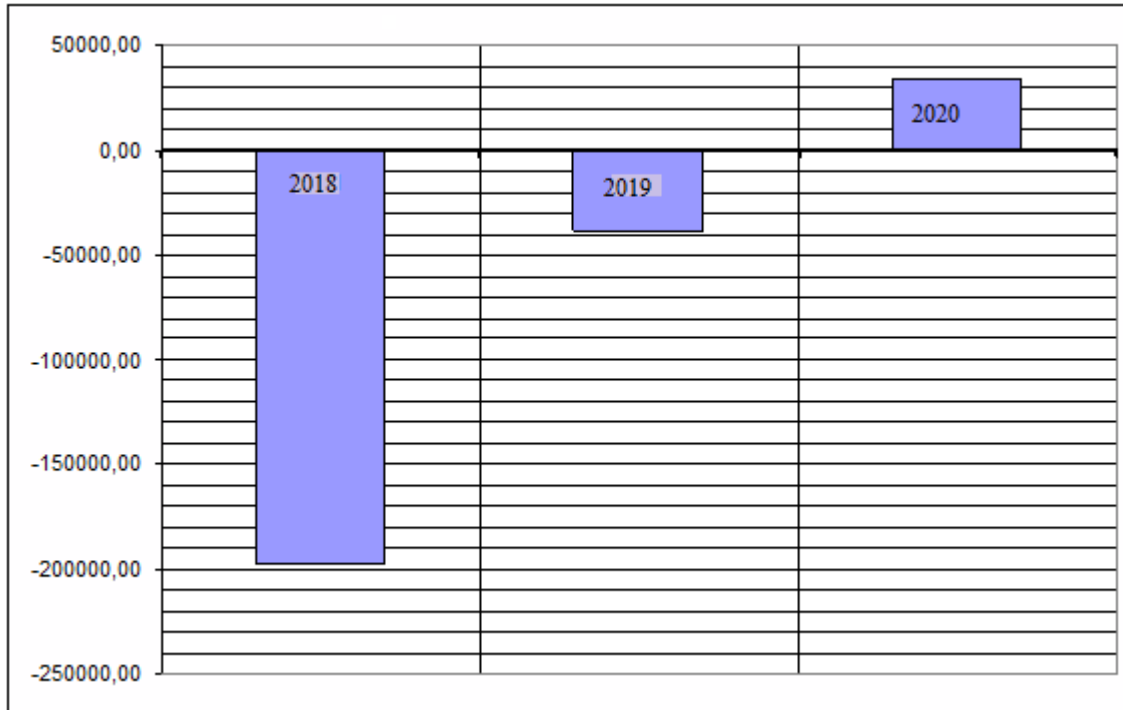


Рис. 6.2 - Фінансовий профіль проекту

Висновок

В даному розділі дипломної роботи була розрахована економічна ефективність проектованого приладу — дистанційного монітора фізіологічних показників людини.

На основі маркетингових досліджень було визначено програму випуску - 6223 штук, а з урахуванням виробничого та зовнішнього браку була визначена програма запуску — 9185 виробів.

Були розраховані чисельність основних виробничих робітників - 55 осіб, і чисельність працівників — 20 осіб. Була розрахована вартість основних виробничих фондів і оборотних. Була розрахована виробнича площа — 341,05 м².

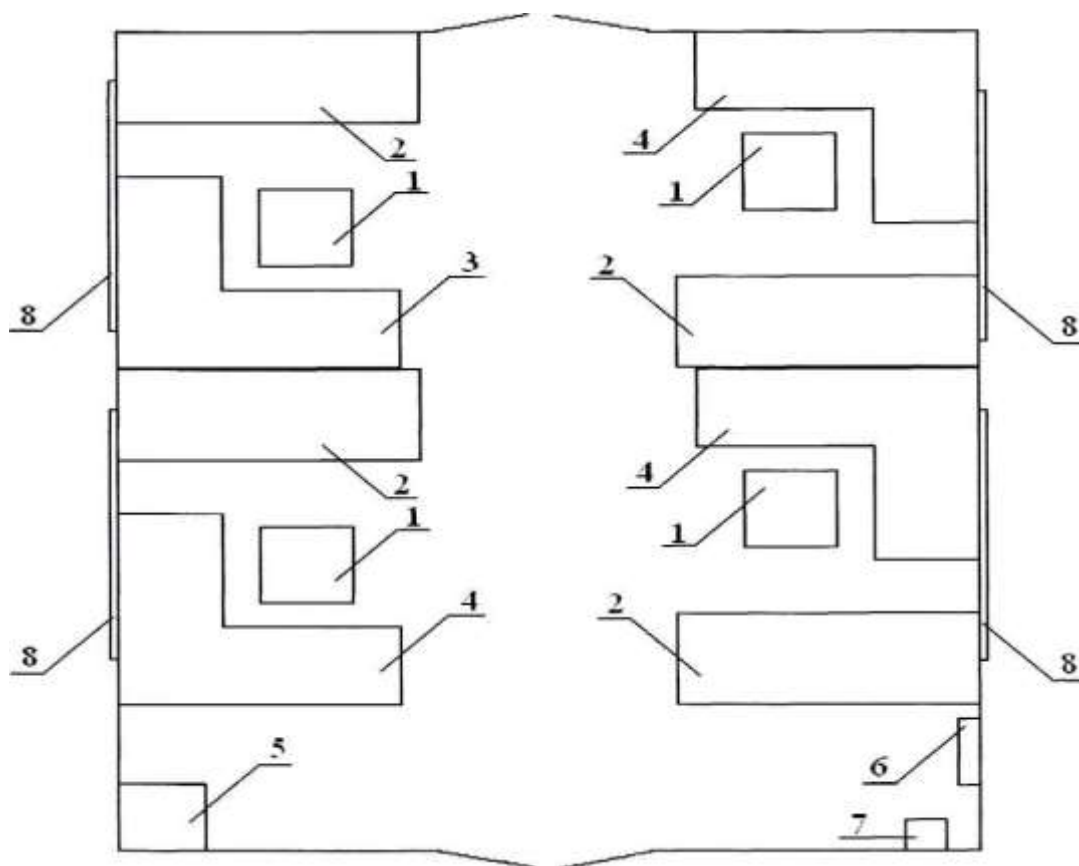


Рис. 6.1 - Ескіз лабораторного приміщення

1 - стілець; 2 - стіл з додатковим інструментом і приладами;

3 - стіл для налагодження і вимірювань; 4 - монтажний стіл;

5 - раковина; 6 - електричний щит;

7 - вогнегасник; 8 - вікно.

Відповідно до норм зазначеними в документах СН - 245 - 71 необхідна площа і об'єм на одну людину становлять не менше $4,5 \text{ м}^2$ і 15 м^3 відповідно. У нашому приміщенні ми отримали площа для одного робочого 6 м^2 і обсяг 18 м^3 . Таким чином, дане приміщення відповідає нормам і придатне для збірки і налагодження виробу.

7.2.2. Ергономічні вимоги

Відповідно до ГОСТ 12.2.032-78 робоче місце і виробниче обладнання кожного працюючого повинні відповідати антропометричним, фізіологічним і

					МРП.171.071.011ПЗ	
Змін.		№ документа	Підпис			105

дотримуватися правил техніки безпеки, своєчасно замінювати застаріле і вийшло з ладу обладнання та забезпечити якісне і надійне заземлення.

7.2.7 Забруднення приміщення шкідливими речовинами

З шкідливих речовин, що утворюються в лабораторії, можна назвати пари свинцю, що входить до складу олов'яно - свинцевого припою ПОС - 61 і продукти згоряння каніфолі.

Процес складання цифрового монітора фізіологічних параметрів людини включає в себе пайку, яка супроводжується забрудненням повітряного середовища на робочих місцях, а також робочих поверхонь і шкіри рук, працюють парами і частинками флюсу і припою. Невеликі і непостійні кількості свинцю, наявного в повітряному середовищі, а також надходять в організм внаслідок забруднення шкіри рук, можуть викликати у осіб, зайнятих паянням, патологічні зміни які при тривалій роботі з припоями характеризуються початковими стадіями хронічної свинцевої інтоксикації. Проведення операції пайки вимагає виконання комплексу захисних заходів. Внаслідок чого у робочого місця, де виконується операція пайки передбачена витяжна вентиляція, що забезпечує швидкість руху не менше 0,6 м / с. Експлуатація або введення в експлуатацію ділянок пайки не обладнаних вентиляцією не допускається.

7.2.8 Шкідливі випромінювання

У виробничому приміщенні можливе виникнення шкідливих електромагнітних випромінювань, наприклад від працюючих вимірювальних приладів. Для попередження професійних захворювань встановлюються допустимі норми опромінення, які відповідно до ГОСТ 12.1.006-84 не повинні перевищувати наступних значень: по електричній складовій - 5 В / м; по магнітній - 0,3 А / м.

Для досягнення допустимих величин випромінювань застосовується екранування можливих джерел випромінювань.

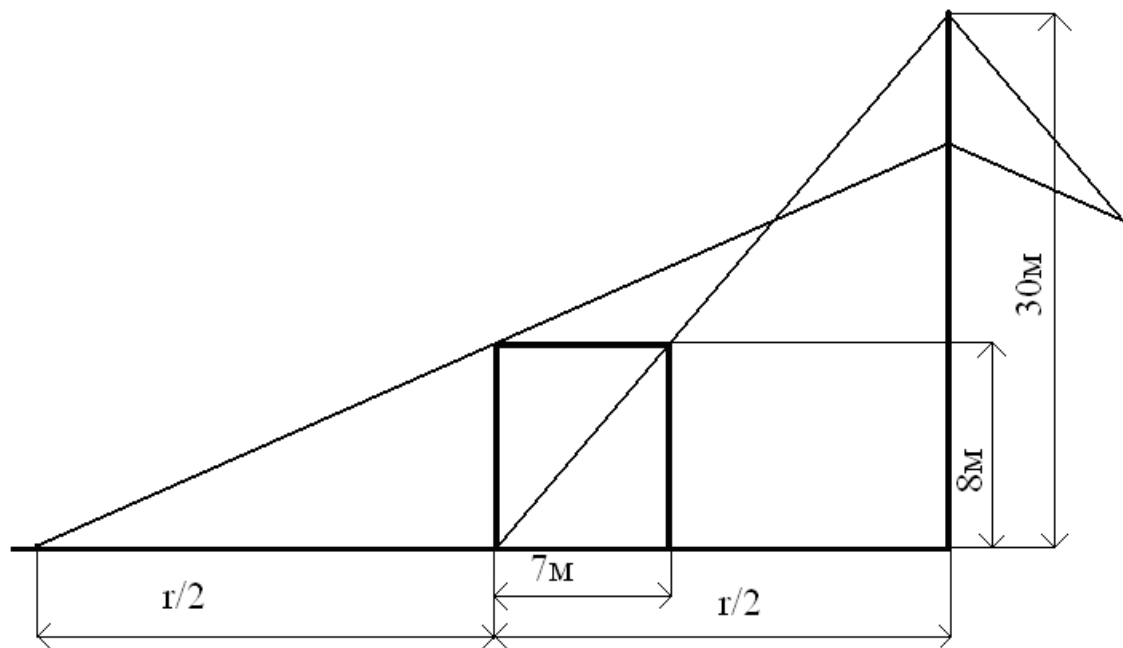


Рис. 7.2 - Зона захисту стрижневого блискавковідводу

Горизонтальний переріз зони захисту на висоті захищається споруди h_x представляє коло радіусом r_x (радіус захисту). Для графічної побудови утворює конуса зони захисту необхідно з'єднати вершину громовідводу з точками, розташованими на рівні землі, віддаленими від заснування громовідводу на відстані $\frac{r}{2} = 0,75 \cdot h$ обидві сторони від нього. Потім точку на блискавковідвід, розташовану на висоті $0,8 \cdot h$, з'єднати з точками на рівні землі, віддаленими від заснування громовідводу на відстані $r = 1,5 \cdot h$ в обидві сторони від нього. Радіус зони захисту на висоті h_x визначається наступними співвідношеннями: [26]

$$r_x = 1,5 \cdot (h - 1,25 \cdot h_x) \quad (7.8)$$

$$r_x = 29\text{м}$$

7.4 Охорона навколишнього середовища

Великі міста зазвичай характеризуються забрудненням навколишнього середовища. Більшість заводів та фабрик значно перевищують вміст викидів у декілька разів. Більш того, оскільки в місті спостерігається одночасний вплив безлічі забруднюючих агентів, їх спільна дія робить кретичний вплив на довколишнє середовище

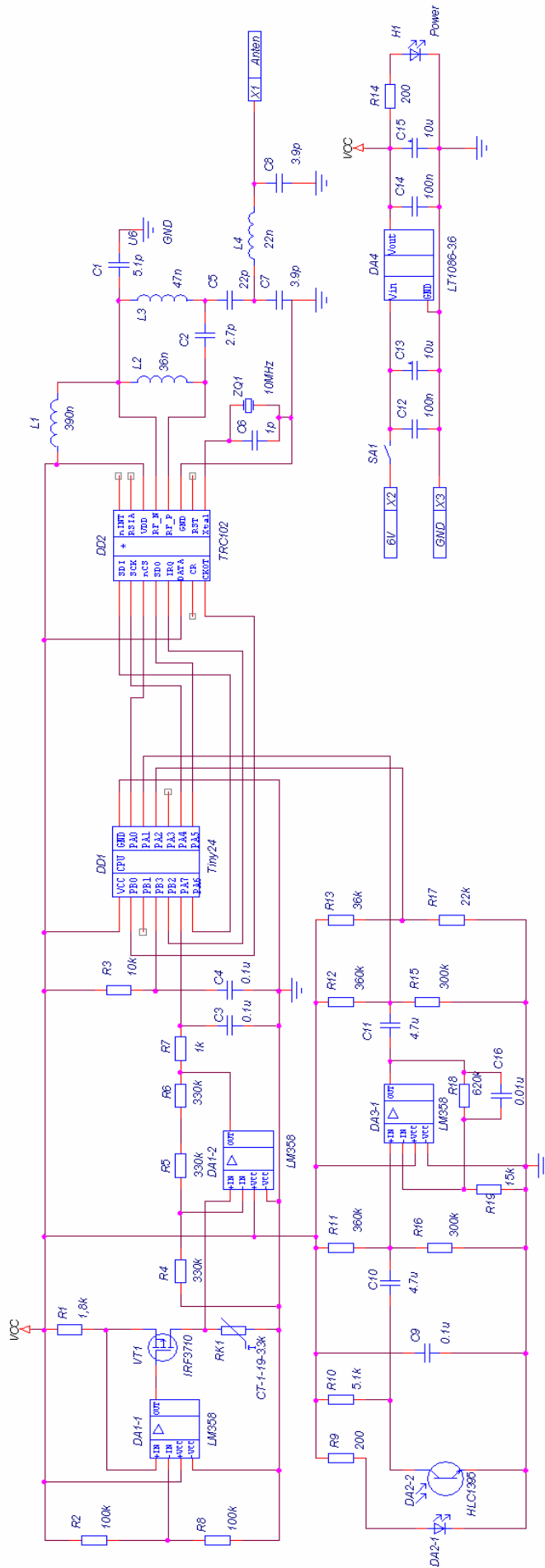
27. Інформаційний портал <http://сhem.net/arduino/arduino63.php> [Електронний ресурс]

28. Інформаційний портал <http://arduino.ru/Serial> [Електронний ресурс].

					МРП.171.071.011ПЗ	
Змін.		№ документа	Підпис			121

ДОДАТОК А
ПРИНЦИПОВА СХЕМА ПРИСТРОЮ

					МРП.171.071.011ПЗ	
Змін.		№ документа	Підпис			122



МРП.171.071.011ПЗ

Змін.

№ документа

Підпис

ДОДАТОК Б
ФУНКЦІОНАЛЬНА СХЕМА ПРИСТРОЮ

					МРП.171.071.011ПЗ	
Змін.		№ документа	Підпис			124

ДОДАТОК Г
ПРОГРАМНЕ ЗАБЕЗПЕЧЕННЯ

					МРП.171.071.011ПЗ	
<i>Змін.</i>		<i>№ документа</i>	<i>Підпис</i>			126

```

include "tn24def.inc"
.equ ResetVCT = 0x0000//RESET vector
.equ F_CPU=12000000 //XTal 12MHz
.equ BAUD=4800 //BaudRate UART
.equ BDR=F_CPU/(16*BAUD)-1
.equ TRC_words_count=8 //Number of CMDs for TRC

.def ID =r21
.def TMRtoSLP =r22
.def TMRtoSLP_low =r23
.def TMRtoSLP_high =r24
.def VoiceON =r2
.def RForly =r3
.eseg
.org 0x0015
.db 0xCE, 0xB2 //ID
.db 0xAA, 0xF0 //!!!chn1 cfg: 437MHz, step 2.5kHz
.cseg
.org FLASHEND-TRC_words_count
TRCID: //16 data bytes for init.TRC102
//8 words~ADR(byte)+CMD(byte)

.db 0x80, 0b10011111 //CFG reg: Tx-1 FiFo-0, 16pF load
.db 0xC4, 0b11000011 //AFA cfg: 1 RTx, fast, AFA EN
.db 0x98, 0x70 //TX cfg: 120kHz modulation, max pwr
.db 0b10010001, 0b10100000 //RX cfg: 134kHz capturing, max pwr

.db 0xCA, 0b10011011 //FiFo cfg: prog ID
.db 0xCC, 0b00010101 //PLL cfg: XT>5MHz, 2ms, all auto
.db 0xC6, 0b00000011 //DataRate: 113kbit/s
.db 0x82, 0b00111000 //PWR cfg reg: Tx, PLL, XT ON
.org 0x0020
.macro initALL

ldi X1, MCUSR //clear reset source flags
clr r16
st X, r16

ldi X1, WDTCR //enable wathcdog timer
ldi r16, 0b00010000
st X, r16
ldi r16, 0b00111001
st X, r16
ldi r16, 0x37 //portB
out DDRB, r16 //0011 0100

ldi r16, 0x30 //portC
out DDRC, r16 //0101 0000

ldi r16, 0x05 //portD
out DDRD, r16 //0000 0101

```

```

ldi X1, ADCSRA
ldi r16, 14
st X+, r16 // ADC EN, 12.5kSPS
inc r26
mov r28, r26 //Y->ADMUX
st X+, r16
inc r26
ldi r16, 0x0F //DIDRO
st X, r16

ldi X1, UCSROB
ldi r16, 0x08
st X+, r16 // Tx EN
ldi r16, 0b000010110 //UCSR0C
st X, r16 // no PAR, 2 STP
ldi X1, 0xc4 //UBRR0
ldi r16, low(BDR) //BAUD=2400
st X+, r16
ldi r16, high(BDR)
st X, r16

ldi r16, 0x12 //T0 Toggle-CTC
out TCCR0A, r16
ldi r16, 0x02 //prsc 1/8
out TCCR0B, r16
ldi r16, 83 //18kHz OVFL
out OCR0B, r16 //OVFL INT EN
ldi r16, 1 //TimerToSleep
ldi X1, TIMSK0
st X, r16
ldi X1, TCCR2A
ldi r16, 0x31 //T2 PhaseCorrect PWM
st X+, r16
ldi r16, 0x01 //prsc 1/1
st X, r16

ldi X1, PRR //PWRoff
ldi r16, 0x88 // TWI //and T1
st X, r16

ldi X1, PCICR //pcINT all ports
ldi r16, 7
st X, r16

ldi X1, PCMSK2 //pcINT16
ldi r16, 1<<PCINT16
st X, r16

ldi X1, PCMSK0 //pcINT1
ldi r16, 1<<PCINT1
st X, r16

ldi X1, EIMSK //eINT0
ldi r16, 1
st X, r16

ldi X1, EICRA //Falle
ldi r16, 2
st X, r16

.endm
.org ResetVCT //сброс по RESET
rjmp main
.org PCI2addr //нажата кнопка CalibrationMode
rjmp ClbrMode
.org PCI1addr //сброс по выходу из sleep
rjmp main
.org PCI0addr //нажата кнопка FindRX
rjmp FIND_RX
.org INTOaddr //нажата кнопка ToggleVoice
rjmp ToggleVoice
.org OVFOaddr //насчёт до ухода в sleep
rjmp TSleep

delay:
ldi r19, 30
di0:
dec r1
breq do0
do0:
ret
initTRC:
//
ldi r17, 5 //ТЕСТ БАТАРЕЙ
st Y, r17 //ADC->BttryCHRG

ldi X1, ADCSRA
ldi r17, 0xc6
st X, r17 //запускаем АЦП
flagBT:
ld r17, X //ждём флага
sbrs r17, ADIF
rjmp flagBT
cbr r17, (1<<ADIF)
st X, r17
ldi X1, ADCL
ld r17, X
mov r1, r17

//
ldi r17, 1 //инициализация из EEPROM

```

МРП.171.071.011ПЗ


```

lpm //load CMD

holdw:
in r16, SPSR
sbrs r16, SPIF //wait for flag
rjmp holdw

out SPDR, r0 //send CMD
holde:
in r16, SPSR
sbrs r16, SPIF //wait for flag
rjmp holde

adiw Z, 1
sbi portB, PB2 //pull-up ss

cpi r17, TRC_words_count
breq endTRC
rjmp Newword_SPI
endTRC:

rcall TXready

out SPDR, ID //send ID
holdBT1:
in r16, PORTB
sbrs r16, PB4 //wait for flag on MISO
rjmp holdBT1

ldi r17, 0x00 //send Battery Charge prefix
out SPDR, r17
holdBT2:
in r16, PORTB
sbrs r16, PB4 //wait for flag on MISO
rjmp holdBT2

mov r17, r1 //send Battery Charge value
out SPDR, r17
holdBT3:
in r16, PORTB
sbrs r16, PB4 //wait for flag on MISO
rjmp holdBT3

sbi portB, PB2 //pull-up ss

ret

initKEYS:

.....
ldi Xl, 0
ldi Xh, 1
ldi r18,1
clr r16
Next_Byte_EEPROM: //reading calibrating
out EEARL, r16 //values from EEPROM
out EECR, r18
in r17, EEDR
st X+, r17
inc r16
cpi r16, 20
breq endLOAD
rjmp Next_Byte_EEPROM
endLOAD:|

ldi Xl, 0
ldi Xh, 1
ldi Zl, 0
ldi Zh, 1
ld r18, X
New_Byte_Calc: //calculating border values
ld r16, X+
ld r17, X

sub r17, r16
ror r17
add r16, r17

st Z+, r18
mov r18, r16
cpi Zl, 15
breq endCALC
rjmp New_Byte_Calc

endCALC:
ld r16, X+
mov r5, r16
ld r16, X+
mov r6, r16
ld r16, X+
mov r7, r16
ld r16, X+
mov r8, r16
clr Xh
clr Zh
ret

ClbrMode:

```

```

waitUP0: //ждём отжатия кнопки C1brMode
in r17, PORTD
sbrc r17, 0
rjmp waitUP0

ldi Zh, 1
ldi Zl, 0
ldi r16, 0
st Y, r16
ldi r19, 0

waitPRSD: //ждём нажатия кнопки C1brMode
in r17, PORTD
sbrs r17, 0
rjmp waitPRSD

ldi x1, ADCSRA
st X, r16 //запускаем преобразование

wait1: //ждём конца преобразование
ld r17, X
sbrs r17, ADIF
rjmp wait1
cbr r17, (1<<ADIF)
st x, r17

ldi x1, ADCL //забираем значение
ld r18, X
out EEDR, r18 //отправляем в EEPROM
out EEARL, r19
inc r19

ldi r17, 4
out EECR, r17
ldi r17, 6
out EECR, r17

waitEEPROM: //ждём сброса бита EEPE
in r17, EECR
sbrc r17, EEPE
rjmp waitEEPROM

waitSPM: //ждём сброса бита SELFPRGEN
in r17, SPMCSR
sbrc r17, SELFPRGEN
rjmp waitSPM

waitUP: //ждём отжатия кнопки C1brMode
in r17, PORTD
sbrc r17, 0

```

```

in r17, PORTD
sbrc r17, 0
rjmp waitUP0

ldi Zh, 1
ldi Zl, 0
ldi r16, 0
st Y, r16
ldi r19, 0

waitPRSD: //ждём нажатия кнопки C1brMode
in r17, PORTD
sbrs r17, 0
rjmp waitPRSD

ldi x1, ADCSRA
st X, r16 //запускаем преобразование

wait1: //ждём конца преобразование
ld r17, X
sbrs r17, ADIF
rjmp wait1
cbr r17, (1<<ADIF)
st x, r17

ldi x1, ADCL //забираем значение
ld r18, X
out EEDR, r18 //отправляем в EEPROM
out EEARL, r19
inc r19

ldi r17, 4
out EECR, r17
ldi r17, 6
out EECR, r17

waitEEPROM: //ждём сброса бита EEPE
in r17, EECR
sbrc r17, EEPE
rjmp waitEEPROM

waitSPM: //ждём сброса бита SELFPRGEN
in r17, SPMCSR
sbrc r17, SELFPRGEN
rjmp waitSPM

waitUP: //ждём отжатия кнопки C1brMode
in r17, PORTD
sbrc r17, 0

```

МРП.171.071.011ПЗ

```

rjmp waitUP
cpi r19, 20 //считаем 20 значений
brne waitPRSD

ldi r17, 0
out PCIFR, r17
rcall initKEYS
ret

Txready: //ПОДГОТОВКА ПЕРЕДАТЧИКА
sbi portD, PD4 //pull-up FIFO-read
cbi portB, PB2 //pull-down SS

ldi r17, 0x82 //PWRreg ADR = 82h
out SPDR, r17 //send ADR_TX
    hold0:
    in r16, SPSR
    sbrs r16, SPIF //wait for flag
    rjmp hold0

ldi r17, 0x38 //set Tx_PWR
out SPDR, r17
    hold1:
    in r16, SPSR
    sbrs r16, SPIF //wait for flag
    rjmp hold1

sbi portB, PB2 //pull-up SS
rcall delay
cbi portB, PB2 //pull-down SS

ldi r17, 0x80 //CFGreg ADR = 80h
out SPDR, r17 //send ADR_TX
    hold2:
    in r16, SPSR
    sbrs r16, SPIF //wait for flag
    rjmp hold2

ldi r17, 0x9F //set Tx_CFG
out SPDR, r17
    hold3:
    in r16, SPSR
    sbrs r16, SPIF //wait for flag
    rjmp hold3

sbi portB, PB2 //pull-up SS

```

```

ldi r17, 0x8A //TxREG ADR = 8Ah
out SPDR, r17 //send ADR_TX
    hold4:
    in r16, SPSR
    sbrs r16, SPIF //wait for flag
    rjmp hold4

ldi r17, 0xAA //send 0xAA
out SPDR, r17
    holdAA:
    in r17, PORTB
    sbrs r17, PB4 //wait for flag on MISO
    rjmp holdAA

ret //SS pulled-DOWN!

```

```

RXready: //ПОДГОТОВКА ПРИЁМНИКА
cbi portB, PB2 //pull-down SS
ldi r17, 0x82 //PWRreg ADR = 82h
out SPDR, r17 //send ADR_TX
    hold10:
    in r16, SPSR
    sbrs r16, SPIF //wait for flag
    rjmp hold10
ldi r17, 0x98 //set Rx_PWR
out SPDR, r17
    hold11:
    in r16, SPSR
    sbrs r16, SPIF //wait for flag
    rjmp hold11

sbi portB, PB2 //pull-up SS
rcall delay
cbi portB, PB2 //pull-down SS
ldi r17, 0x80 //CFGreg ADR = 80h
out SPDR, r17 //send ADR_TX
    hold12:
    in r16, SPSR
    sbrs r16, SPIF //wait for flag
    rjmp hold12

ldi r17, 0x5F //set Rx_CFG
out SPDR, r17

```

```

    hold13:
    in r16, SPSR
    sbrs r16, SPIF //wait for flag
    rjmp hold13
sbi portB, PB2 //pull-up SS
    hold14:
    ldi r16, PORTB //wait for INT_RF
    sbrc r16, 0 //active LOW
    rjmp hold14

cbi portD, PD4 //pull-down FIFO-read
ret

RTX: //обмен байтами через TRC
ldi r16, 0b01010000 //по средством r25
out SPCR, r16

// SEND BYTE
rcall TXready
out SPDR, ID //send ID
    holdID:
    in r16, PORTB //wait for flag on MISO
    sbrs r16, PB4
    rjmp holdID

out SPDR, r25 //send data
    holdDT:
    in r16, PORTB //wait for flag on MISO
    sbrs r16, PB4
    rjmp holdDT

sbi portB, PB2 //pull-up SS
rcall delay
// READ BYTE
rcall RXready
ldi r17, 0xFF //send smthng to TRC
out SPDR, r17 //send ADR_TX
    hold15:
    in r16, SPSR
    sbrs r16, SPIF //wait for flag
    rjmp hold15

out SPDR, r25 //recive data

```



```

initALL
rcall initKEYS

START:
WDR
sei
nop
cli

sbrs VoiceON, 0 //проверка флага голосовой связи
rjmp INPUT_D

dec r5 //если установлен,
breq INPUT //проверка счётчика 1/100
ldi r16, 1
st Y, r16
ldi X1, ADCSRA
ldi r16, 0xC6
st X, r16 //запускаем АЦП

flag0:
ld r17, X //ждём флага
sbrs r17, ADIF
rjmp flag0
cbr r17, (1<<ADIF)
st x, r17

ldi X1, ADCL //отправляем значение из АЦП
ld r25, X
mov r17, r25 //через TRC
rcall RTX //принятое от TRC значение
ldi X1, OCR2B //отправляем в таймер ШИМ
st X, r25

ldi TMRtoSLP, 2 //сброс таймера sleep

swap r17
andi r17, 0x0F
lsr r17
lsr r17 // значения звукового сигнала
add r9, r17 // делятся на 64 и суммируются
// E[100*ADC/64]

rjmp START

SenSON:
sbi PORTD, PD6
rjmp INPUTgo

SenSOFF:
cbi PORTD, PD6
rjmp INPUTgo

INPUT_D:
sei
mov r16, TMRtoSLP_low
dec r16
loop:
mov r17, TMRtoSLP_low
cpi r17, 16
brne loop
cli
INPUT:
ldi r17, 100 //установка счётчика 1/100
mov r5, r17

mov r17, r9
clr r9
cpi r17, 96 //проверка E[100*ADC/64]
brlo SenSON
cpi r17, 256-96
brlo SenSOFF
clr r9

INPUTgo:
// читаем X касания
cbi PORTC, PC2 //Bottom-> 0
sbi PORTC, PC6 //Right -> 1

ldi r16, 2 //ADC -> Top
st Y, r16
ldi X1, ADCSRA
ldi r16, 0xC6
st X, r16 //запускаем АЦП
flag1:
ld r17, X //ждём флага
sbrs r17, ADIF
rjmp flag1
cbr r17, (1<<ADIF)
st x, r17

ldi X1, ADCL
ld r17, X
cp r17, r5 //если снятое значение меньше
brlo KEYin //калибровочного, прыжок на метку

```

```

mov r10, r17 //сохраняем точку прикосновения X

// Читаем Y касания
cbi PORTC, PC6 //Right -> 0
sbi PORTC, PC2 //Bottom-> 1

ldi r16, 3 //ADC -> Left
st Y, r16
ldi X1, ADCSRA
ldi r16, 0xC6
st X, r16 //запускаем АЦП
flag31:
ld r17, X //ждём флага
sbrs r17, ADIF
rjmp flag31
cbr r17, (1<<ADIF)
st X, r17

ldi X1, ADCL
ld r17, X

cp r17, r8 //если снятое значение меньше
brlo KEYin //калибровочного, прыжок на метку

com r17
mov r11, r17 //сохраняем точку прикосновения Y

clr r13

ONETouch:
// Читаем X координату
sbi PORTC, PC6 //Right -> 1
cbi PORTC, PC4 //Bottom-> 0

ldi r16, 2 //ADC -> Top
st Y, r16
ldi X1, ADCSRA
ldi r16, 0xC6
st X, r16 //запускаем АЦП
flag21:
ld r17, X //ждём флага
sbrs r17, ADIF
rjmp flag21
cbr r17, (1<<ADIF)
st X, r17

ldi X1, ADCL
ld r17, X

cp r17, r5 //если снятое значение меньше
brlo KEYin //калибровочного, прыжок на метку

mov r18, r17 //сохраняем

// Читаем Y координату
cbi PORTC, PC6 //Right -> 0
sbi PORTC, PC4 //Bottom-> 1

ldi r16, 3 //ADC -> Left
st Y, r16
ldi X1, ADCSRA
ldi r16, 0xC6
st X, r16 //запускаем АЦП
flag10:
ld r17, X //ждём флага
sbrs r17, ADIF
rjmp flag10
cbr r17, (1<<ADIF)
st X, r17

ldi X1, ADCL
ld r17, X

cp r17, r8 //если снятое значение меньше
brlo KEYin //калибровочного, прыжок на метку
sub r18, r10 //знаковое!!! смещение по X
sub r17, r11 //знаковое!!! смещение по Y
mov r10, r18
mov r11, r17

ldi TMRtoSLP, 2 //сброс таймера sleep (15 sec)

inc r13
sbrs r13, 5 //16 снятий координат
rjmp ONETouch

KEYin: //опрос клавиатуры

```

МРП.171.071.011ПЗ

Змін.

№ документа

Підпис

136


```

|
|IRsend:
|ldi x1 , UDRO
|st X, r5
|
|waitUART0:
|ldi x1, UCSROA
|ld r17, X
|sbrs r17, UDRE0
|rjmp waitUART0
|
|clr r5
|
|ldi x1 , UDRO
|st X, r10
|
|waitUART1:
|ldi x1, UCSROA
|ld r17, X
|sbrs r17, UDRE0
|rjmp waitUART1
|
|clr r10
|
|ldi x1 , UDRO
|st X, r11
|
|waitUART2:
|ldi x1, UCSROA
|ld r17, X
|sbrs r17, UDRE0
|rjmp waitUART2
|
|clr r11
|
|rjmp START
|RFsend:
|ldi r25, 0 //отправляем "0"
|rcall RTX //через TRC как команду о данных ввода
|ldi x1, OCR2B //принятое от TRC значение
|st X, r25 //отправляем в таймер ШИМ
|mov r25, r5 //через TRC отправляем
|rcall RTX //код клавиши
|st X, r25 //отправляем в таймер ШИМ
|mov r25, r10 //отправляем X
|rcall RTX //принятый байт
|st X, r25 //отправляем в таймер ШИМ
|mov r25, r11 //отправляем Y
|rcall RTX //принятый байт
|st X, r25 //отправляем в таймер ШИМ
|
|rjmp START
|
|Find_RX:
|ldi TMRtosLP, 1 //сброс таймера sleep (15 sec)
|
|
|
|ldi r16, 0xFF //через ИК передатчик отправляем
|ldi x1 , UDRO // 0xFF байт
|st X, r16
|
|FR0:
|ldi x1, UCSROA
|ld r17, X
|sbrs r17, UDRE0
|rjmp FR0
|
| //это сигнал приёмнику о дальнейшей
| //передаче настроек канала и ID
|
|ldi r17, 1
|ldi r16, 0x15
|
|nextCH: //потом полсеедовательно зачитываем
|out EEARL, r16 //из EEPROM данные о канале и ID
|out EECR, r17
|in r19, EEDR
|ldi x1 , UDRO
|st X, r19
|
|FR2:
|ldi x1, UCSROA
|ld r18, X
|sbrs r18, UDRE0
|rjmp FR2
|
|inc r16
|cpi r16, 0x15+5
|brne nextCH
|ldi r16, 0x15
|nextCH0:
|rcall initTRC
|reti

```